

Адаптивный вариант алгоритма Франк–Вульфа для задач минимизации относительно гладких выпуклых функций

А. А. Выгузов, Ф. С. Стонякин

Аннотация

В работе введён новый адаптивный вариант алгоритма Франк–Вульфа из [1] для относительно гладких выпуклых функций, впервые введённых в работе [2]. Предлагается использовать дивергенцию, отличную от половины квадрата евклидовой нормы в формуле для регулировки длины шага. Доказаны оценки сходимости такого метода для задач минимизации относительно гладких выпуклых функций с triangle scaling property [3]. Выполнены вычислительные эксперименты и показаны условия, в которых показано явное преимущество предложенного алгоритма над его аналогом с евклидовой нормой. Также найдены примеры задач, для которых предлагаемая вариация метода Франк–Вульфа работает лучше всех ускоренных методов градиентного типа, рассмотренных в [3] для класса выпуклых оптимизационных задач с triangle scaling property.

1 Введение

На данный момент хорошо исследованы обычные градиентные методы для относительно гладких функций, общий обзор, например, смотри в [4]. Также уже есть исследование ускоренных методов для этого класса в [3]. В нашей же статье мы ставим цель исследовать алгоритм Франк–Вульфа для относительно гладких функций. Мы предложим адаптивный алгоритм Франк–Вульфа для минимизации таких задач.

Относительно гладкие функции впервые были введены в [2]. Напомним определение.

Определение 1. *Относительно гладкая функция f — это функция удовлетворяющая неравенству*

$$f(x) \leq f(y) + \langle \nabla f(y), x - y \rangle + LV(x, y) \quad (1)$$

при всех $x, y \in Q$, где V — дивергенция Брегмана.

Подчеркнём, что относительная гладкость является обобщением обычной выпуклости с прокс-функцией вида $h(x) = \frac{1}{2}\|x\|_2^2$. Так, функция Poisson inverse problem, D-optimal design, задача распределённой оптимизации Empirical Risk Minimization (ERM) (см., например, [5]), квадратичная функция x^4 и многие другие функции не являются гладкими функциями в классическом понимании, зато являются относительно гладкими функциями относительно своего прокса и константы L .

Введём понятие triangle scaling property из [3] (Definition 2). Оно является одним из ключевых свойств в доказательстве итоговой оценки сходимости нашего алгоритма.

Определение 2. *Пусть f — выпуклая относительно гладкая функция, тогда расстояние Брегмана D_h имеет свойство triangle scaling property, если существует константа $\gamma > 0$ такая, что для всех $x, z, \tilde{z} \in \text{rint dom } h$,*

$$D_h((1 - \theta)x + \theta z, (1 - \theta)x + \theta \tilde{z}) \leq \theta^\gamma D_h(z, \tilde{z}), \quad \forall \theta \in [0, 1], \quad (2)$$

где γ называют uniform triangle scaling exponent (TSE) расстояния D_h .

Определим функцию: $LMO_C(g) \in \operatorname{argmin}_{z \in C} g^\top z$ (linear minimization oracle) и направление: $d_k = d_k^{FW} := s_k - x_k$, где $s_k \in LMO_C(\nabla f(x_k))$.

Определение 3. *Тогда шаг Франк–Вульфа — это шаг вида*

$$x_{k+1} = x_k + \alpha_k(s_k - x_k) = \alpha_k s_k + (1 - \alpha_k)x_k,$$

где $\alpha_k \in [0, 1]$ — длина шага.

2 Алгоритм

Пусть $1 < \gamma \leq 2$ и $x_{k+1} = x_k + \alpha_k d_k$, тогда рассмотрим длину шага вида:

$$\alpha_k := \min \left\{ \left(\frac{-\langle \nabla f(x_k), d_k \rangle}{2L_k V(x_k + d_k, x_k)} \right)^{\frac{1}{\gamma-1}}, 1 \right\}, \quad (3)$$

где V — дивергенция Брегмана.

Составим адаптивный Алгоритм 1 с методом Франк–Вульфа для относительно гладких задач с шагом вида (3).

Algorithm 1 Адаптивный метод Франк–Вульфа.

Require: Количество итераций N , начальная точка $x_0 \in Q$, $L_{-1} > 0$.

```

1: for  $k = 0, 1, \dots, N - 1$  do
2:    $L_k = \frac{L_{k-1}}{2}$ .
3:    $s_k = \operatorname{argmin}_{x \in Q} \{ \nabla f(x_k)^\top x \}$ .
4:    $d_k = s_k - x_k$ .
5:    $\alpha_k = \min \left\{ \left( \frac{-\nabla f(x_k)^\top d_k}{2L_k V(x_k + d_k, x_k)} \right)^{1/(\gamma-1)}, 1 \right\}$ .
6:   if  $f(x_k + \alpha_k d_k) \leq f(x_k) + \alpha_k \nabla f(x_k)^\top d_k + \alpha_k^\gamma L_k V(s_k, x_k)$  then
7:      $x_{k+1} = x_k + \alpha_k d_k$ .
8:   else
9:      $L_k = 2L_k$  и переходим к п. 5.
10:  end if
11: end for

```

Ensure: x_N .

Докажем две вспомогательные леммы.

Лемма 1. Пусть f относительно гладкая функция (1), а дивергенция Брегмана V обладает свойством (2) с $1 < \gamma \leq 2$, тогда справедливо неравенство

$$f(x_k + \alpha_k d_k) \leq f(x_k) + \alpha_k \nabla f(x_k)^\top d_k + \alpha_k^\gamma L_k V(x_k + d_k, x_k). \quad (4)$$

Доказательство. Согласно определению TSE (2) имеем

$$\begin{aligned} V(x_k + \alpha_k d_k, x_k) &= V((1 - \alpha_k)x_k + \alpha_k(x_k + d_k), (1 - \alpha_k)x_k + \alpha_k x_k) \leq \\ &\leq \alpha_k^\gamma V(x_k + d_k, x_k) = \alpha_k^\gamma V(s_k, x_k). \end{aligned}$$

Тогда, воспользовавшись этим неравенством в определении относительной гладкости (1), получим исходное неравенство. \square

Лемма 2. Пусть длина шага подбирается методом (3), а дивергенция Брегмана обладает свойством (2) с $1 < \gamma \leq 2$, $d_k = s_k - x_k$ и L_k — константой Липшица, тогда справедливы неравенства:

$$f(x_{k+1}) - f^* \leq \frac{f(x_k) - f^*}{2}, \quad (5)$$

если $\alpha_k = 1$, и

$$f(x_{k+1}) - f(x_k) \leq -\frac{1}{2} \frac{(-\langle \nabla f(x_k), d_k \rangle)^{\gamma/(\gamma-1)}}{(2L_k V(x_k + d_k, x_k))^{1/(\gamma-1)}}, \quad (6)$$

если $\alpha_k < 1$.

Доказательство. Если $\alpha_k = 1$, то по (1) и $x_{k+1} = x_k + d_k$ имеем

$$f(x_{k+1}) \leq f(x_k) + \langle \nabla f(x_k), d_k \rangle + L_k V(x_{k+1}, x_k).$$

Поэтому заключаем:

$$f(x_{k+1}) - f^* \leq f(x_k) - f^* + \frac{1}{2} \langle \nabla f(x_k), d_k \rangle \leq \frac{f(x_k) - f^*}{2}.$$

Тут воспользовались определением шага (3), согласно которому

$$2L_k V(x_{k+1}, x_k) < -\langle \nabla f(x_k), d_k \rangle,$$

и затем воспользовались выпуклостью:

$$\langle \nabla f(x_k), x_{k+1} - x_k \rangle \leq \langle \nabla f(x_k), x^* - x_k \rangle \leq f^* - f(x_k).$$

Если же $\alpha_k < 1$, то

$$\begin{aligned} f(x_k + \alpha_k d_k) - f(x_k) &\leq \\ &\leq -\frac{(-\langle \nabla f(x_k), d_k \rangle)^{\gamma/(\gamma-1)}}{(2L_k V(x_k + d_k, x_k))^{1/(\gamma-1)}} + \frac{(-\langle \nabla f(x_k), d_k \rangle)^{\gamma/(\gamma-1)}}{2^{\gamma/(\gamma-1)}(L_k V(x_k + d_k, x_k))^{1/(\gamma-1)}} = \\ &= -\frac{1}{2} \frac{(-\langle \nabla f(x_k), d_k \rangle)^{\gamma/(\gamma-1)}}{(2L_k V(x_k + d_k, x_k))^{1/(\gamma-1)}}. \end{aligned}$$

Здесь воспользовались Леммой 1 (4). □

Теперь докажем оценку для невязки по функции для Алгоритма 1.

Теорема 1. Пусть $V(x, y) \leq \frac{R^2}{2}$ при всяких $x, y \in Q$ для некоторого $R > 0$. Тогда при $1 < \gamma \leq 2$ для метода условного градиента $x_{k+1} = x_k + \alpha_k d_k$ с шагом (3) справедливо неравенство

$$f(x_k) - f^* \leq \left(\frac{2}{k+2} \right)^{\gamma-1} \max_{j \in \{0, k-1\}} L_j R^2 \quad \forall k \geq 1. \quad (7)$$

Доказательство. Доказательство методом математической индукции по k :

1) Базис $k = 1$.

При $\alpha_0 = 1$ верно:

$$\begin{aligned} f(x_1) - f^* &\leq \\ &\leq f(x_0) - f^* + \langle \nabla f(x_0), x_1 - x_0 \rangle + L_0 V(x_1, x_0) \leq \\ &\leq f(x_0) - f^* + \langle \nabla f(x_0), x^* - x_0 \rangle + L_0 V(x_1, x_0) \leq \\ &\leq L_0 V(x_1, x_0) \leq \frac{L_0 R^2}{2} \leq \frac{2L_0 R^2}{3} \leq \left(\frac{2}{1+2} \right)^{\gamma-1} L_0 R^2. \end{aligned}$$

Третье неравенство верно в силу $f(x_0) - f^* + \langle \nabla f(x_0), x^* - x_0 \rangle \leq 0$, а последнее $-0 < \gamma - 1 \leq 1$. Если же $\alpha_0 < 1$, то

$$\begin{aligned} f(x_0) - f^* &\leq \langle \nabla f(x_0), x_0 - x^* \rangle = -\langle \nabla f(x_0), x^* - x_0 \rangle \leq -\langle \nabla f(x_0), d_0 \rangle \leq \\ &\leq 2L_0 V(x_0 + d_0, x_0) \leq L_0 R^2 = \left(\frac{2}{0+2} \right)^{\gamma-1} L_0 R^2. \end{aligned}$$

Далее, ввиду (6) имеем

$$f(x_1) - f^* \leq (f(x_0) - f^*) \left(1 - \frac{1}{2} \left(\frac{f(x_0) - f^*}{2L_0 V(x_0 + d_0, x_0)} \right)^{1/(\gamma-1)} \right),$$

откуда

$$f(x_1) - f^* \leq (f(x_0) - f^*) \left(1 - \left(\frac{f(x_0) - f^*}{2^{\gamma-1} L_0 R^2} \right)^{1/(\gamma-1)} \right).$$

Тогда если $\frac{f(x_0) - f^*}{2^{\gamma-1} L_0 R^2} > \left(\frac{1}{3} \right)^{\gamma-1}$, то

$$1 - \left(\frac{f(x_0) - f^*}{2^{\gamma-1} L_0 R^2} \right)^{\frac{1}{\gamma-1}} < 1 - \frac{1}{3} = \frac{2}{3}$$

и

$$f(x_1) - f^* \leq \frac{2}{3} (f(x_0) - f^*) \leq \frac{2}{3} L_0 R^2 \leq \left(\frac{2}{3} \right)^{\gamma-1} L_0 R^2 \quad \text{при } 0 < \gamma - 1 \leq 1.$$

Если же $\frac{f(x_0) - f^*}{2^{\gamma-1} L_0 R^2} \leq \left(\frac{2}{3}\right)^{\gamma-1}$, то

$$f(x_1) - f^* \leq f(x_0) - f^* \leq \left(\frac{2}{3}\right)^{\gamma-1} L_0 R^2.$$

Базис индукции доказан.

2) Индуктивный переход.

Пусть $f(x_k) - f^* \leq \left(\frac{2}{k+2}\right)^{\gamma-1} L_{k-1} R^2$. Докажем, что

$$f(x_{k+1}) - f^* \leq \left(\frac{2}{k+3}\right)^{\gamma-1} \max_{j \in \{0, k\}} L_j R^2.$$

При $\alpha = 1$ из (5) имеем

$$\begin{aligned} f(x_{k+1}) - f^* &\leq \frac{f(x_k) - f^*}{2} < \left(\frac{k+2}{k+3}\right)^{\gamma-1} (f(x_k) - f^*) \leq \\ &\leq \left(\frac{2}{k+2}\right)^{\gamma-1} \left(\frac{k+2}{k+3}\right)^{\gamma-1} L_{k-1} R^2 \leq \left(\frac{2}{k+3}\right)^{\gamma-1} \max_{j \in \{0, k\}} L_j R^2. \end{aligned}$$

При $\alpha_k < 1$ справедливо $f(x_{k+1}) - f^* \leq (f(x_k) - f^*) \left(1 - \left(\frac{f(x_k) - f^*}{2^{\gamma-1} L_k R^2}\right)^{1/(\gamma-1)}\right)$.

В случае $f(x_k) - f^* \leq \left(\frac{2}{k+3}\right)^{\gamma-1} L_k R^2 \leq \left(\frac{2}{k+3}\right)^{\gamma-1} \max_{j \in \{0, k\}} L_j R^2$ доказываемое неравенство следует из того, что $f(x_{k+1}) - f^* \leq f(x_k) - f^*$.

В случае же $f(x_k) - f^* > \left(\frac{2}{k+3}\right)^{\gamma-1} L_k R^2$ и $\frac{f(x_k) - f^*}{2^{\gamma-1} L_k R^2} > \left(\frac{1}{k+3}\right)^{\gamma-1}$ следует

$$\begin{aligned} f(x_{k+1}) - f^* &\leq (f(x_k) - f^*) \left(1 - \frac{f(x_k) - f^*}{2^{\gamma-1} L_k R^2}\right)^{1/(\gamma-1)} < \\ &< (f(x_k) - f^*) \left(1 - \frac{1}{k+3}\right) = \frac{k+2}{k+3} (f(x_k) - f^*) \leq \\ &\leq \left(\frac{k+2}{k+3}\right)^{\gamma-1} \left(\frac{2}{k+2}\right)^{\gamma-1} L_k R^2 \leq \left(\frac{2}{k+3}\right)^{\gamma-1} \max_{j \in \{0, k\}} L_j R^2, \end{aligned}$$

что и требовалось.

Дополнительно отметим, что оценка (7) является оптимальной, так как при подстановке $\gamma = 2$ и евклидовой прокс-функции $\frac{1}{2} \|x\|_2^2$ выражение превратится в оценку алгоритма Франк–Вульфа для гладких задач в классическом понимании, то есть для частного случая относительно гладких задач, а для них эта оценка оптимальна. \square

2.1 Анализ числа проверок L_k

Проанализируем количество проверок L_k на каждой итерации в Алгоритме 1. Способ анализа почти аналогичный предложенному способу в [1] (с. 4).

Замечание 1. Если f имеет L -липшицев градиент и $L_{-1} \leq 2L$, то из [6] (Лемма 1) ясно, что $L_k \leq 2L$.

Замечание 2. Пусть f имеет L -липшицев градиент и на шаге k было осуществлено i_k проверок неравенства из строки 6 алгоритма 1. Тогда при условии $L_{-1} \leq 2L$ для алгоритма 1 в силу

замечания (1) имеет место следующий факт:

$$\begin{aligned}
i_0 + i_1 + \dots + i_N &= \\
&= \left(2 + \log_2 \frac{L_1}{L_0}\right) + \dots + \left(2 + \log_2 \frac{L_N}{L_{N-1}}\right) = \\
&= 2N + \log_2 \left(\frac{L_1}{L_0} \frac{L_2}{L_1} \dots \frac{L_N}{L_{N-1}}\right) = \\
&= 2N + \log_2 \frac{L_N}{L_0} \leq 2N + \log_2 \frac{2L}{L_0} = O(N).
\end{aligned}$$

Таким образом, общее количество проверок неравенства из строки 6 алгоритма 1 после N итераций составляет $O(N)$.

2.2 Численные эксперименты

Для демонстрации производительности предложенного алгоритма 1 были проведены численные эксперименты. Все вычисления были реализованы на Python 3.11.4.

Далее, рассмотрим хорошо известную задачу Poisson linear inverse problem. Целевая функция имеет следующий вид:

$$\min_x f(x) := D_{KL}(b, Ax), \quad (8)$$

где $D_{KL}(x, y) = \sum_{i=1}^n \left(x^{(i)} \log \left(\frac{x^{(i)}}{y^{(i)}}\right) - x^{(i)} + y^{(i)}\right)$.

Нам дана матрица наблюдений $A \in \mathbb{R}^{m \times n}$ и зашумлённый вектор $b \in \mathbb{R}_{++}$, наша задача заключается в восстановлении сигнала x такого, что $Ax \sim b$. В качестве допустимого множества Q для этой задачи используем единичный симплекс. Коэффициент зашумлённости равен 0.01, размерности: $n = 1000$, $m = 2000$, $L = \|b\|_1$.

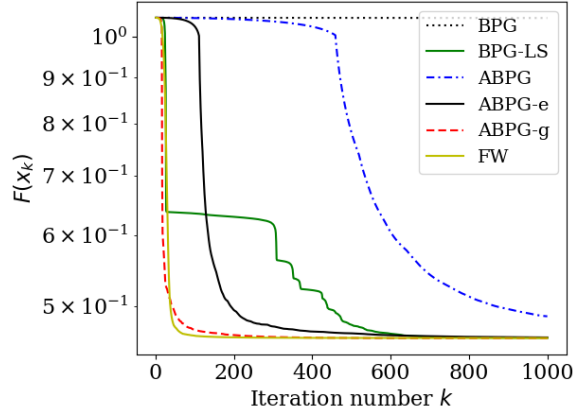


Рис. 1: Результаты эксперимента для целевой функции (8) на l_2 -шаре. Сверху алгоритм 1 обозначен на легенде как FW, снизу классический алгоритм FW ($n = 3000$, $m = 100$) обозначен также FW, параметр зашумлённости 0.01.

На рисунке (1) видно, что алгоритм 1 с задачей (8) справляется гораздо лучше, чем все конкурирующие алгоритмы из статьи [3]. Преимущество алгоритма тем яснее, чем ближе точка с решением лежит к краю ограничивающей области, это согласуется с видом шага (5), который гарантирует уменьшение невязки в 2 раза при длине шага, равной 1.

Рассмотрим ещё одну очень известную задачу — SVM с бинарной классификацией. Целевая функция выглядит следующим образом:

$$\min_x f(x) := \frac{1}{n} \sum_{i=1}^n \max \{0, 1 - y_i x^T w_i\} + \frac{\lambda}{2} \|x\|_2, \quad (9)$$

где w_i — это строка датасета, для которого мы делаем классификацию, $y_i \in \{-1, 1\}$ — это класс, которому принадлежит строка датасета. Данные были взяты из [Optical Recognition of Handwritten Digits](#) и затем расширены до размерности $n = 264$. Количество строк: 1500. Параметр регуляризации $\lambda = 100$. В качестве допустимого множества Q используется l_2 -шар с центром в $c \in \mathbb{R}^n$ и радиусом $r = \min(1/(\lambda n) \sum \|\omega_i\|_2, \sqrt{2/\lambda})$, в статье [7] доказано, что решение задачи (9) лежит внутри такого шара.

В работе [7] (с. 18) доказано, что функция (9) является 1-относительно липшицевой относительно дивергенции с проксом вида

$$h(x) := \frac{\lambda^2}{4} \|x\|_2^4 + \frac{2\lambda}{3n} \left(\sum_{i=1}^n \|w_i\|_2 \right) \|x\|_2^3 + \frac{1}{2n} \left(\sum_{i=1}^n \|w_i\|_2^2 \right) \|x\|_2^2. \quad (10)$$

В статье [8] была показана связь относительной липшицевости и относительной гладкости, поэтому, имея это условие вкупе с ограниченной областью определения, можем теперь проверить работу алгоритма 1 на этой задаче. Сравним её также с классическим методом FW с евклидовой нормой. Как показывает график (2), предложенный алгоритм уверенно обходит классический метод FW при $\gamma = 1.5$ и задача сходится к решению.

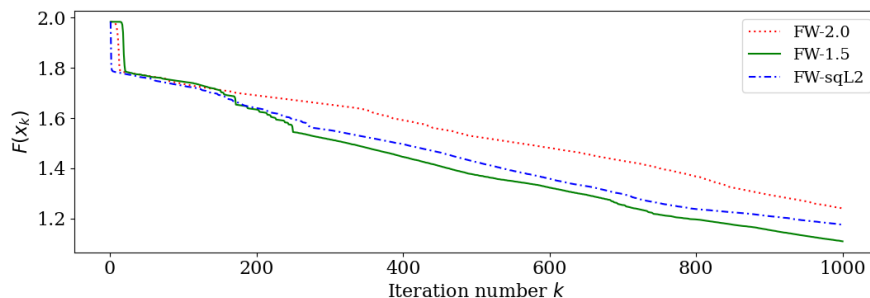


Рис. 2: Результаты эксперимента для целевой функции (9) на l_1 -шаре. Классический алгоритм FW с евклидовой нормой обозначен как FW-sqL2, алгоритм (1) с проксом (10) $\gamma = 1.5$ и $\gamma = 2$ обозначены как FW-1.5 и FW-2.0 соответственно.

3 Выводы

В работе предложен адаптивный алгоритм Франк–Вульфа для относительно гладких задач (1). В задачах SVM и Poisson linear inverse problem, которые не являются гладкими, но являются относительно гладкими функциями, алгоритм показывает отличные результаты и превосходит существующие современные алгоритмы. Преимущества тем яснее, чем решение лежит ближе к краю области определения функции.

Список литературы

- [1] G. V. Aivazian, F. S. Stonyakin, M. S. Alkousa D. A. Pasechnyuk, and A. M. Raigorodskii. “Adaptive Variant of the Frank-Wolfe Algorithm for Convex Optimization Problems”. In: (2023). DOI: <https://doi.org/10.48550/arXiv.2307.16059>.
- [2] Heinz H. Bauschke, Jerome Bolte, and Marc Teboulle. “A descent Lemma beyond Lipschitz gradient continuity: first-order methods revisited and applications”. In: (2016). DOI: [10.1287/moor.2016.0817](https://doi.org/10.1287/moor.2016.0817).
- [3] Filip Hanzely, Peter Richtarik, and Lin Xiao. “Accelerated Bregman Proximal Gradient Methods for Relatively Smooth Convex Optimization”. In: (2021). DOI: <https://doi.org/10.48550/arXiv.1808.03045>.
- [4] Radu-Alexandru Dragomir. “Bregman Gradient Methods for Relatively-Smooth Optimization”. In: (2021).
- [5] Ye Tian, Gesualdo Scutari, Tianyu Cao, and Alexander Gasnikov. “Acceleration in Distributed Optimization under Similarity”. In: (2021). DOI: [arXiv:2110.12347](https://arxiv.org/abs/2110.12347).
- [6] Immanuel. M. Bomze, Francesco Rinaldi, and Damiano Zeffiro. “Frank-Wolfe and friends: a journey into projection-free first order optimization methods”. In: (2021). DOI: <https://doi.org/10.48550/arXiv.2106.10261>.
- [7] Haihao Lu. “Relative-Continuity for Non-Lipschitz Non-Smooth Convex Optimization using Stochastic (or Deterministic) Mirror Descents”. In: (2017). DOI: <https://doi.org/10.48550/arXiv.1710.04718>.
- [8] Fedor Stonyakin, Alexander Titov, Mohammad Alkousa, Oleg Savchuk, and Alexander Gasnikov. “Adaptive Algorithms for Relatively Lipschitz Continuous Convex Optimization Problems”. In: (2021). DOI: [arXiv:2107.05765](https://arxiv.org/abs/2107.05765).